

УДК 621.315.592

**ФИЗИЧЕСКОЕ МОДЕЛИРОВАНИЕ  
И ЭКСПЕРИМЕНТАЛЬНОЕ ИССЛЕДОВАНИЕ  
ОСОБЕННОСТЕЙ ТОКОПЕРЕНОСА  
В СТРУКТУРАХ МЕТАЛЛ— $p^+$ — $n$ -ПОЛУПРОВОДНИК  
С ГЛУБОКИМИ УРОВНЯМИ**

Бузанева Е. В., Ветров А. П., Кузнецов Ю. М.,  
Левандовский В. Г., Панасюк В. М., Попова Г. Д.

Проведено физическое моделирование токопереноса в структурах металл— $p^+$ — $n$ -полупроводник с глубокими уровнями (ГУ) и предложена дифференциальная методика исследования с использованием машинного эксперимента, позволяющая изучить особенности в токопереносе.

Приведены значения энергетического положения четырех ГУ, обнаруженных с помощью предложенной методики в структурах Al— $p^+$ — $n$ -Si, применяемых в микроэлектронике.

Модификация характеристик структур металл—полупроводник и других структур на полупроводниках при введении глубоких примесей в полупроводник может быть обусловлена влиянием на токоперенос перезаполнения возникающих в полупроводнике глубоких уровней (ГУ) и генерационно-рекомбинационных процессов [1, 2]. В данной работе проведено физическое моделирование токопереноса в структурах металл— $p^+$ — $n$ -полупроводник с ГУ и предложена дифференциальная методика исследования с проведением компьютерного эксперимента, позволяющая изучить особенности в токопереносе.

**Физическое моделирование токопереноса  
в структурах металл— $p^+$ — $n$ -полупроводник  
барьером Шоттки**

На рис. 1 приведена зависимость хода потенциала  $\varphi$  от пространственной координаты  $x$  в полупроводнике структур металл— $p^+$ — $n$ -полупроводник при изменении напряжения  $U$ . В полупроводнике учтены ГУ — одна «строчка» уровней с энергетическим положением  $\epsilon_t$ . При небольшом напряжении в прямом направлении уровень Ферми пересекает строчку ГУ только справа от  $x_{\max}$  (в точке  $x_2$ ), что соответствует заполнению ГУ в области  $x \geq x_2$ . При увеличении напряжения до  $U = U_{tt}$ , начинается одновременное заполнение ГУ в области максимального потенциала слева и справа от  $x_{\max}$ , при этом уровень Ферми пересекает строчку ГУ в точках  $x_1$  и  $x_2$  и при  $U = U_{tt}$  выполняется условие

$$\varphi_0 - eU_{tt} = \mu - \epsilon_t. \quad (1)$$

При напряжении  $U_t$  заполнение глубокого уровня прекращается и выполняется условие

$$\varphi_{\max}(U_t) = \mu - \epsilon_t. \quad (2)$$

Возможность перезаполнения ГУ слева и справа от  $x_{\max}$  является особенностью структуры металл— $p^+$ — $n$ -полупроводник и в отличие от результатов [3] приводит к нерегулярности в зависимостях дифференциального наклона вольт-амперной характеристики (ВАХ)  $\alpha$  ( $\alpha^*$ ) от напряжения.

Как показано в ряде работ [1], особенностью структур металл- $p^+$ - $n$ -полупроводник (в частности, Al- $p^+$ -n-Si) с ГУ, связанной с технологией изготовления этих структур и высоким «эффективным» барьером на границе ( $\varphi_m \sim 0.6$  эВ), является преобладание генерационно-рекомбинационного тока  $i_{qr}$  по сравнению с надбарьерным током  $i_b$ . Так, в исследуемой здесь структуре отношение

$$\frac{i_{qr}}{i_b} \sim \frac{n_i D}{n_0 v \tau} e^{\frac{\varphi_m}{kT}} > 10^2$$

при  $n_0 = 10^{16}$  см $^{-3}$ ,  $n_i = 10^{10}$  см $^{-3}$ ,  $\varphi_m \sim 0.6$  эВ,  $\tau < 10^{-3}$  с ( $1/\tau$  — вероятность рекомбинации).

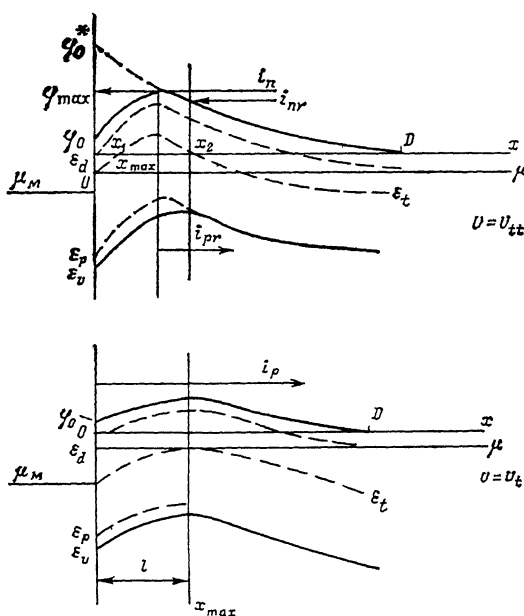


Рис. 1. Зависимость потенциала  $\varphi$  от пространственной координаты  $x$  в структуре металл- $p^+$ - $n$ -полупроводник при изменении напряжения  $U$ .  
Сплошная кривая — ход потенциала в полупроводнике; штриховая — энергетическое положение примесных уровней.

Расчет ВАХ для генерационно-рекомбинационного тока сводится к нахождению интеграла:

$$i_{qr} = e \int_0^D [n(x)p(x) - n_i^2] [\tau_p n_p + \tau_n p_1 + \tau_p n(x) + \tau_n p(x)]^{-1} dx = e[n(D)p(D) - n_i^2] I, \quad (3)$$

где

$$I = \int_0^D [A + B(x)]^{-1} dx,$$

$$A = \tau_n p_1 + \tau_p n_1, \quad p_1 = n_i \exp [(\epsilon_i - \epsilon_t)/kT],$$

$$n_1 = n_i \exp [(\epsilon_t - \epsilon_i)/kT],$$

$$B = \tau_n p(D) \exp [\varphi(x)/kT] + \tau_p n_0 \exp [-\varphi(x)/kT],$$

$n_i$  и  $\epsilon_i$  — концентрация электронов и уровень Ферми в собственном полупроводнике,  $\tau_n$  и  $\tau_p$  — времена жизни неравновесных носителей заряда электронов и дырок соответственно [1]. Анализ (3) показывает, что усложнение ВАХ по сравнению с результатами, приведенными в [3], связано с тем, что: 1) в структурах металл- $p^+$ - $n$ -полупроводник существуют две (а не одна) области максимального вклада в генерационно-рекомбинационный ток (слева и справа от  $x_{max}$ ).

где  $\tau_p n = \tau_n p$ ; 2) положение областей максимального вклада сложным образом зависит от напряжения.

Необходимо отметить, что расчет  $i_{qr}$  (3) связан с нахождением зависимостей  $p(x)$  и  $n(x)$  в приближениях диодной [3] и диффузионной теорий при различных уровнях инжекции в  $p^+$ -слое [5, 6]. Как показано в [3, 6], в случае диодной теории (что соответствует рассматриваемой здесь модели) при выполнении условия  $e/v\tau \ll 1$  ( $l$  — длина свободного пробега), что опять же соответствует  $\tau < 10^{-3}$  с для исследуемых здесь образцов, функция распределения носителей при отсутствии вырождения в области пространственного заряда (ОПЗ) будет большинского типа:  $n(x) = n_0 \exp(-\varphi(x)/kT)$ ,  $p(x) = p(D) \exp(\varphi(x)/kT)$ . В этом случае произведение  $n(x)p(x)$  в (3) не зависит от координаты, а  $p(D) =$

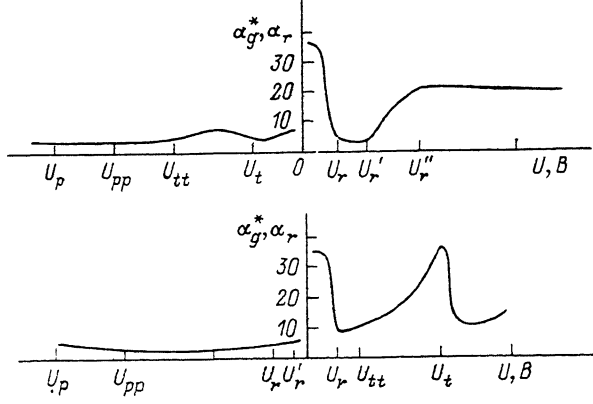


Рис. 2. Теоретическая зависимость  $\alpha (\alpha^*) = f(U)$  при генерационно-рекомбинационном токе для различных энергий ионизации  $\epsilon_i$  глубоких уровней.

$= p_0 + \Delta p$  с учетом условий переноса дырок в контакте с  $p^+$ -слоем [5, 6] по-разному зависит от напряжения в областях  $U \leq \varphi_0/e$  и  $U > \varphi_0/e$ . При  $U \leq \varphi_0/e$

$$p(D) = p_0 [v_p \exp(eU/kT) + 4\Theta_p/L_p] [4\Theta_p/L_p + v_p]^{-1}. \quad (4)$$

При  $U > \varphi_0/e$

$$p(D) = p_0 [v_p \exp(\varphi_0/kT) + 4\Theta_p/L_p] \{4\Theta_p/L_p + v_p \exp[(\varphi_0 - eU)/kT]\}^{-1}, \quad (5)$$

где  $v_p$  — средняя скорость дырок в полупроводнике,  $\Theta_p$  и  $L_p$  — коэффициент и длина диффузии для дырок соответственно.

Учитывая зависимость  $\varphi(x)$ , интегрирование (3) проведем в двух областях — слева и справа от  $x_{\max}$ , вынося из-под знака интеграла среднее значение функции  $(dy/dx)^{-1}$ . В результате получим

$$i_{qr} = e [n_0 p(D) - n_0^2] \{ [\langle x_{\max} [\varphi_{\max} - \varphi(0)]^{-1} + (D - x_{\max})/\varphi_{\max} \rangle F(\varphi_{\max}) - x_{\max} \times \langle [\varphi_{\max} - \varphi(0)]^{-1} F(\varphi(0)) - (D/x_{\max})/\varphi_{\max} F(0) \rangle], \quad (6)$$

где  $F(\varphi)$  — функция, зависящая от  $\epsilon_i$ ,  $\varphi_0^*$ ,  $\tau_n$ ,  $\tau_p$ ,  $U$ :

$$F(\varphi) = kT [A^2 - 4\tau_n \tau_p p(D) n_0]^{1/2} \ln \{ [2\tau_n p(D) \exp(\varphi/kT) + A - [A^2 - 4\tau_n \tau_p p(D) n_0]^{1/2}] \{ 2\tau_n p(D) \exp(\varphi/kT) + A + [A^2 - 4\tau_n \tau_p p(D) n_0]^{1/2} \}]^{-1} \quad (7)$$

при  $A^2 > 4\tau_n \tau_p p(D) n_0$ ;

$$F(\varphi) = 2kT [4\tau_n \tau_p p(D) n_0]^{-1/2} \operatorname{arctg} \{ [2\tau_n p(D) \exp(\varphi/kT) + A] [4\tau_n \tau_p p(D) n_0 - A^2] \}^{-1/2} \quad (8)$$

при  $A^2 < 4\tau_n \tau_p p(D) n_0$ .

Из выражений (6)–(8) видно, что для зависимости  $i_{qr}(U)$  можно ввести характерные напряжения  $U_r$ ,  $U'_r$  и  $U''_r$  (рис. 2). При  $U_r$  происходит переход от BAX типа (6), (7) к BAX вида (6), (8).  $U_r$  определяют из уравнения

$$0.5U_r/kT = \ln 0.5(\tau_n/\tau_p)^{1/2} + (\varepsilon_i - \varepsilon_t)/kT + \ln \{1 + (\tau_p/\tau_n) \exp [2(\varepsilon_t - \varepsilon_i)/kT]\}. \quad (9)$$

Так как при напряжении  $U > U_r$ , в выражении (6) определяющим является член с  $F(\Phi_{\max})$ , то для  $U'_r$  и  $U''_r$  можно записать следующие выражения:

$$[eU'_r + \varphi_{\max}(U'_r)]/kT = (\mu - \varepsilon_t)/kT + \ln \{1 + (\tau_p/\tau_n) \exp [2(\varepsilon_t - \varepsilon_i)/kT]\}; \quad (10)$$

$$0.5eU''_r/kT = [(\mu - \varepsilon_i)/kT] - [\varphi_{\max}U''_r/kT] + \ln 2(\tau_p/\tau_n)^{1/2}. \quad (11)$$

Основные особенности ВАХ при генерационно-рекомбинационном механизме прохождения тока рассмотрим по зависимостям  $\alpha_r(U) = (d/dU)(\ln i_r)$  и  $\alpha_g^*(U) = (d/dU)(\ln i_g)$ , учитывая (6)–(11). Возможны следующие частные случаи:

$$\alpha_r \approx e/kT \quad (12)$$

при  $U < U_r$ ,  $U_r \geq 0$ ,

$$\alpha_g^* = (D'/D) - (\varphi'_{\max}/\varphi_{\max}) - (e/kT) \{\ln [A^2(\tau_p/\tau_n)^2] - (eU/kT)\}^{-1} \quad (13)$$

при  $U_{pp} < U < U_r$ , где  $D'$  и  $\varphi'_{\max}$  определяются из

$$D' = (e/kT) l_d^2 [(1 - n_t) D + n_t x_2]^{-1}, \quad (14)$$

$$-\varphi'_{\max}/kT = (e/kT) \{1 - x_{\max} [(1 - n_t) D + n_t x_2]^{-1}\}, \quad l_d = (e/kT)^{1/2} (4\pi l^2 n_d)^{-1/2}, \quad (15)$$

$n_d$  — концентрация мелких доноров в полупроводнике. При увеличении напряжения до  $U \gg U_r$ ,

$$\alpha_r = e/2kT \quad (16)$$

при  $U < U_{tt}$ ,  $U > U_t$ ,  $U_r < U < U'_r < U''_r$ ,

$$\alpha_r \approx (e/kT)(x_{\max}/D) \quad (17)$$

при  $U < U_{tt}$ ,  $U > U_t$ ,  $U_r < U'_r < U''_r < U$ ,  $U > U_r > U''_r > U'_r$ .

Если напряжение изменяется в области  $U_{tt} < U < U_t$ ;  $U_r \leq U_{tt}$ ,  $U > U''_r > U'_r$ , то  $\alpha_r(U)$  будет возрастать:

$$\alpha_r = e/kT (1 + d\varphi_{\max}/dU). \quad (18)$$

В интервале напряжений для (18)  $\varphi'_{\max}$  определяется из уравнения

$$-\varphi'_{\max}/kT = (e/kT) \{1 - [n_t x_1 x'_1/D' + x_{\max} (1 - n_t + n_t x'_2/D')] [(1 - n_t) D - n_t (x_2 x'_2/D' + x_1 x'_1 D')]^{-1}\}, \quad (19)$$

и  $\alpha$  увеличивается до  $\alpha = e/kT$  при  $U = U_t$ , когда  $\varphi'_{\max} = 0$ ,  $x'_1$ ,  $x'_2$ ,  $D'$  — скорости изменения параметров  $x_1$ ,  $x_2$ ,  $D$  с изменением напряжения:

$$x'_1 = -D' [(1 - n_t)(D - x_1) + n_t(x_2 - x_1)x'_2/D'] [(1 - n_t)(D - x_1) + n_t(x_2 - x_1) - n_p(l - x_1)]^{-1}; \quad (20)$$

$$x'_2 = D' [1 - n_p(l - x_2)(1 - n_t)^{-1}(D - x_2)^{-1}]^{-1} \quad (21)$$

при  $x_2 \leq l$ ;

$$D' = (e/kT) l_d^2 \{(1 - n_t) D + n_t [(x_2 x'_2/D') - (x_1 x'_1/D')]\}^{-1}, \quad (22)$$

где  $n_p$ ,  $l$  — концентрация мелких акцепторов в  $p^+$ -слое и его толщина соответственно

$$D = l_d \sqrt{2(1 - n_t)^{-1}[(\varphi_0^* - eU)/kT + 0.5 x_d^2 l_d^{-2}]} \quad (23)$$

При увеличении напряжения до  $U > U_t$ , если  $U_r < U < U'_r < U''_r$ , то  $\alpha_r = 0$ . Теоретические зависимости  $\alpha$  ( $\alpha^*$ ) =  $f(U)$  для различных значений энергий ионизации ГУ приведены на рис. 2.

### Методика эксперимента

Для определения особенностей токопереноса в структурах металл- $p^+$ -полупроводник разработана методика измерения дифференциальных характеристик структур  $\alpha$ ,  $\alpha^*(U)$ ,  $R_g(U)$ . Исследования этих характеристик приведены с помощью компьютерного эксперимента на автоматизированной установке

с персональной ЭВМ «Искра-1030» (рис. 3). Напряжение на исследуемую структуру, помещенную в криостат 9, подается с генератора пилообразного напряжения 3. Напряжение на структуре, ток через нее и температура измеряются цифровыми измерительными приборами 4—6 типа ЦУИП. Управление режимом работы ЦУИПов и сбор информации с них осуществляются по программе с ЭВМ через устройство сопряжения (УС) 2. Программа подбирает необходимые диапазоны измерения, формирование массивов, рассчитывает  $R_g$ ,  $\alpha$ ,  $\alpha^*$  и осуществляет построение графических зависимостей на экране дисплея.

Для повышения точности измерения токов в разработанной установке применены интегрирование показаний измерительных приборов, уменьшение времени считывания этих показаний, программный выбор режима измерений. Уменьшение погрешности, обусловленной дрейфом температуры в установленной точке измерения, достигается уменьшением времени измерения ВАХ и скорости изменения температуры.

При расчете  $\alpha$ ,  $\alpha^*$ ,  $R_g$  применено численное дифференцирование. Точность расчета  $\alpha$ ,  $\alpha^*$  зависит от выбора шага дифференцирования  $\Delta U$  и может быть повышена схемным путем. Шаг  $\Delta U \approx kT/e$  формируется с большой точностью (0.05 %) независимой схемой и может дополнительно прикладываться к структуре в каждой точке измерения ВАХ.

Разработанная автоматизированная установка характеризуется следующими параметрами: пределы измерения тока  $10^{-11} \div 10^{-1}$  А с точностью 0.05 %, скорость измерений  $1 \div 25$  с<sup>-1</sup>; пределы измерения  $R_g - 10 \div 10^8$  Ом с точностью  $1 \div 2$  %, пределы измерения  $\alpha - 0.3 \div 60$  В<sup>-1</sup> с точностью  $0.5 \div 1$  %.

Одним из основных устройств автоматизированной установки, позволяющим получить такие параметры, является устройство сопряжения ЭВМ с измерительными приборами. Блок-схема устройства приведена на рис. 4. В устройство входят шинные формирователи 2 для подключения к информационнойшине ЭВМ, селектор адреса и формирователь командных сигналов 3, схема управления режимом работы измерительных приборов 4, схема ввода информации в ЭВМ 5. При построении устройства использован принцип программного обмена информацией между измерительными приборами и ЭВМ. Схемы ввода информации оригинальны, характеризуются большой скоростью обмена информацией, помехозащищенностью, позволяют упростить программу обеспечения обмена и значительно сократить число физических связей между измерительными приборами и ЭВМ.

## Результаты эксперимента и их обсуждение

Изучаемые структуры Al—p<sup>+</sup>—n-Si изготовлены на кремнии КЭФ-0.3. Перед напылением алюминия поверхность кремния травили в плазме при мощности разряда 0.6 кВт. Температура отжига структур  $T_0 = 573$  и 733 К. Площадь структур  $S = 1.65 \times 10^{-3}$  см. Для этих структур измерены ВАХ, по которым рассчитаны параметры  $\alpha$ ,  $\alpha^*$  в зависимости от напряжения при  $T = 77$  К (рис. 5). Из рис. 5 видно, что зависимости  $\alpha(U)$ ,  $\alpha^*(U)$  сложные и характеризуются наличием максимумов и минимумов при фиксированных напряжениях.

Для структур, отожженных при  $T_0 = 573$  К, в интервале напряжений 0.1—0.6 В в прямом направлении наблюдаются минимумы при  $U_{th} = 0.23, 0.35, 0.42$  В,

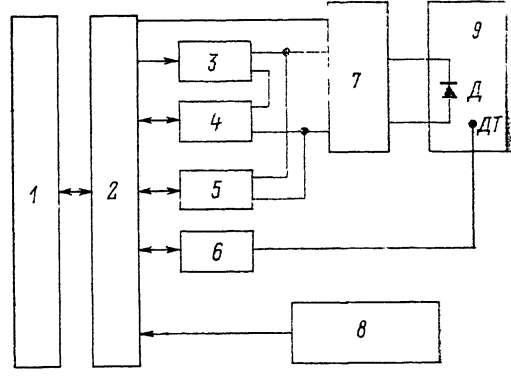


Рис. 3. Блок-схема измерительной установки:  
1 — ЭВМ; 2 — устройство сопряжения; 3 — генератор пилообразного напряжения; 4—6 — цифровой измерительный прибор типа ЦУИП; 7 — переключательный ключ; 8 — выносной пульт управления установкой; 9 — криостат; Д — исследуемая структура; ДТ — датчик температуры.

а в интервале напряжений от 0 до  $-2$  В в обратном направлении — при  $U_{tt} = -0.6$  В.

Так как при  $U = U_{tt}$  начинается заполнение ГУ и уровень Ферми пересекает ГУ, то три минимума на зависимости  $\alpha(U)$  обусловлены тремя строчками ГУ, расположеннымными выше уровня Ферми, а один минимум на зависимости  $\alpha^*(U)$  — одной строчкой ГУ ниже уровня Ферми. Количество минимумов на зависимостях  $\alpha$ ,  $\alpha^*(U)$ , т. е. количество строчек ГУ, уменьшается при повышении темпера-

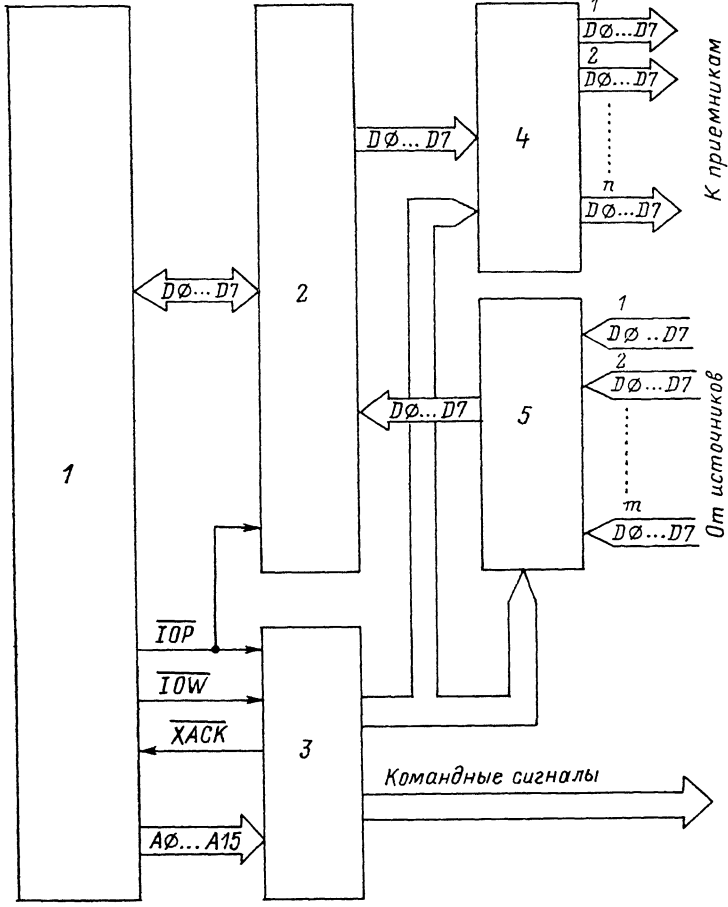


Рис. 4. Блок-схема устройства сопряжения ЭВМ с измерительными приборами.

1 — ЭВМ; 2 — шинные формирователи; 3 — селектор адреса и формирователь командных сигналов; 4 — блок регистров; 5 — коммутатор вводимой информации.

туры отжига до  $T_0 = 733$  К. При этой температуре на зависимости  $\alpha(U)$  имеется только один минимум (одна строчка ГУ), что свидетельствует об отжиге при 733 К остальных ГУ.

На основании анализа зависимостей  $\alpha_r(U)$  и  $\alpha_g^*(U)$  [формулы (13), (18) и условие (1)] проведена оценка энергетического положения ГУ  $\epsilon_t$  в запрещенной зоне Si по отношению к  $\epsilon_c$  при  $U > 0$  и к  $\epsilon_g$  при  $U < 0$ . При оценке  $\epsilon_t$  использовано значение  $\varphi_0 = 0.15 \pm 0.25$  эВ, определенное по отсечке на оси  $U$  прямой  $C^{-2}(U)$  при больших обратных напряжениях, когда все ГУ в области пространственного заряда кремния ионизированы.

Значения  $\epsilon_t$  для структур  $Al-p^+-n-Si$ , оцененные по (1), приведены в таблице. Из таблицы видно, что при  $T_0 = 573$  К в структурах  $Al-p^+-n-Si$  в процессе их изготовления формируются четыре строчки ГУ. При повышении  $T_0$  до 733 К остается только одна строчка ГУ, а остальные отжигаются. ГУ с  $\epsilon_c - \epsilon_{t1} = 0.15 - 0.16$  эВ связан с комплексом вакансия—кислород [4]; ГУ с  $\epsilon_c - \epsilon_{t2} = 0.22 - 0.24$  эВ — с примесью титана в кремнии [5], ГУ с  $\epsilon_c - \epsilon_{t3}$  может

быть обусловлен комплексом вакансия — примесь [4], а с  $\epsilon_v + \epsilon_{t4}$  — междуузельным атомом [6].

Уровни с  $\epsilon_c - \epsilon_{t2}$  и  $\epsilon_c - \epsilon_{t3}$  были обнаружены в кремнии и другими методами, в частности, методом DLTS в [7] для структур TiW—n-Si и определено, что они вводятся в процессе магнетронного распыления металлов.

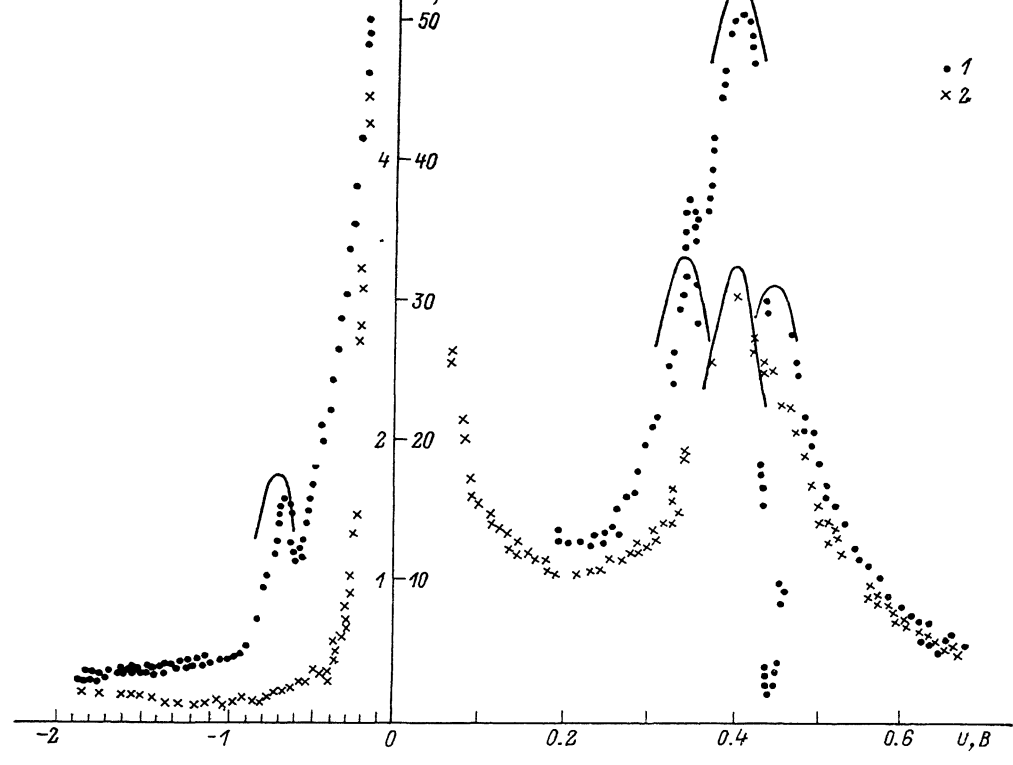


Рис. 5. Зависимости  $\alpha$ ,  $\alpha^*$  от напряжения.

Сплошные кривые — расчет по формулам (13) и (18), точки — эксперимент;  $T_0$ , К: 1 — 573, 2 — 733.

Рассчитанные по формулам (13) и (18) зависимости  $\alpha(U)$  и  $\alpha^*(U)$  (сплошные линии на рис. 5) с учетом значений  $\epsilon_i$ , приведенных в таблице, хорошо описывают экспериментальные зависимости  $\alpha(U)$ ,  $\alpha^*(U)$  (точки на рис. 5), что может служить подтверждением генерационно-рекомбинационного токопереноса в структурах Al— $p^+$ —n-Si.

$T_0$ , К	$\epsilon_c - \epsilon_{t1}$ , эВ	$\epsilon_c - \epsilon_{t2}$ , эВ	$\epsilon_c - \epsilon_{t3}$ , эВ	$\epsilon_v + \epsilon_{t4}$ , эВ
573	0.15÷0.16	0.22÷0.24	0.31÷0.33	0.7÷0.72
733	0.15÷0.16	—	—	—

Таким образом, высокая чувствительность и точность дифференциальной методики исследования структур металл— $p^+$ —n-полупроводник позволили экспериментально обнаружить особенности токопереноса в структурах Al— $p^+$ —n-Si, связанные с генерационно-рекомбинационным механизмом прохождения тока, выявить ГУ и определить их энергетическое положение в запрещенной зоне кремния.

## Список литературы

- [1] Стриха В. И., Бузанева Е. В. Физические основы надежности контактов металл—полупроводник в интегральной электронике. М., 1987. 22 с.
- [2] Арсенид галлия в микрэлектронике / Под ред. Н. Айнспрука, У. Уиссмена. М., 1988. 223 с.
- [3] Левандовский В. Г., Стриха В. И., Чайка Г. Е. // Радиотехника и электроника, 1980. С. 847—855.
- [4] Левандовский В. Г., Стриха В. И., Чайка Г. Е. // Полупроводниковая техника и микроэлектроника. 1980. № 32. С. 95—104.
- [5] Бузанева Е. В., Левандовский В. Г., Стриха В. И. // Радиотехника и электроника. 1985. Т. 30. В. 7. С. 1403—1408.
- [6] Бузанева Е. В., Вдовиченко А. Д., Левандовский В. Т. и др. // Электрон. техн. Сер. 2. Полупроводниковые приборы. 1983. № 4 (163). С. 15—23.
- [7] Кулаков В. М., Ладыгин Е. А., Шаховцов В. И. и др. Действие проникающей радиации на изделия электронной техники / Под ред. Ладыгина Е. А. М., 1980. 44 с.
- [8] Омельяновский Э. И., Фистуль В. И. Примеси переходных металлов в полупроводниках. М., 1983. 37 с.
- [9] Физические процессы в облученных полупроводниках / Под ред. Л. С. Смирнова. Новосибирск, 1977. 122 с.
- [10] Auret F. D., Nel M., Bojarczuk N. A. // J. Vac. Sci. Techn. 1985. V. 4. N 5. P. 1168—1174.

Получена 20.09.1990  
Принята к печати 19.02.1991

---